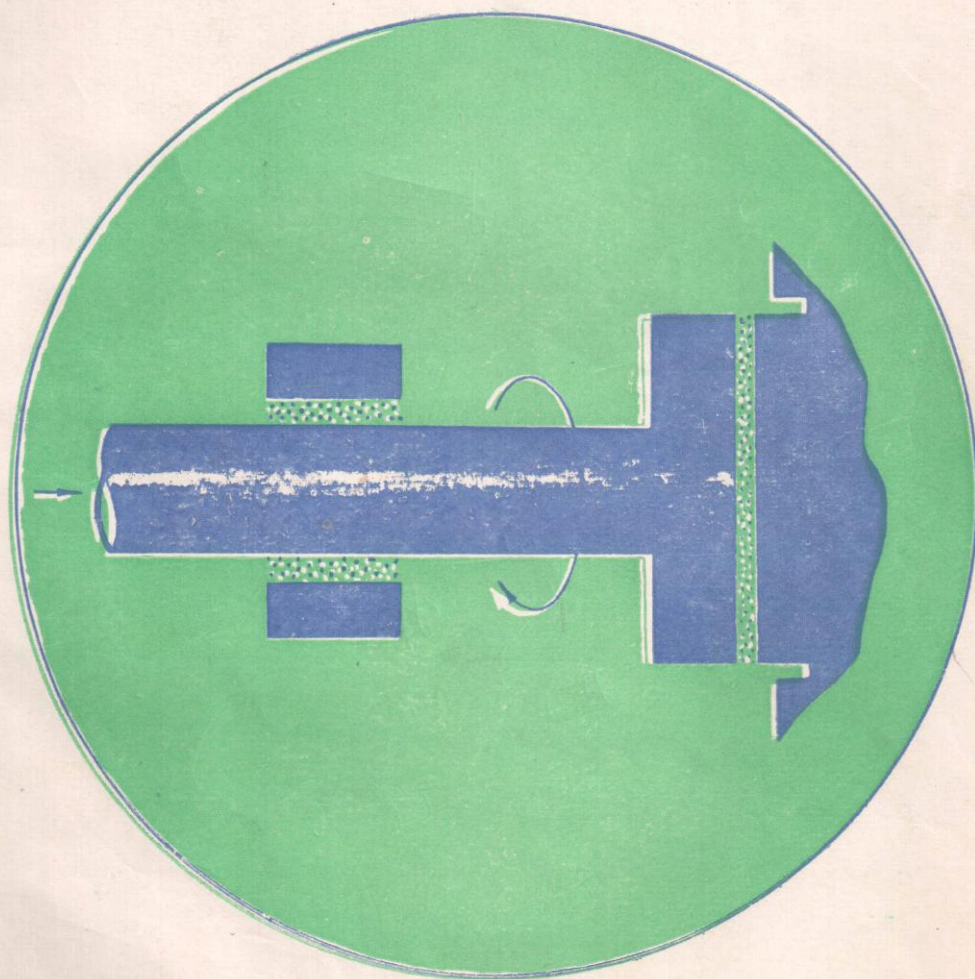


# ГАЗОВЫЕ ОПОРЫ ТУРБОМАШИН



КАЗАНЬ · 1975

А.В.Емельянов, Л.С.Емельянова, В.А.Федотов

ОПТИМАЛЬНЫЕ ПАРАМЕТРЫ ЦИЛИНДРИЧЕСКОГО  
ГАЗОВОГО ПОДВЕСА С ДВУМЯ ЩЕЛЯМИ НАДУВА

(Винницкий политехнический институт)

Конструкция подвеса с двумя щелями надува (рис.1) позволяет вариацией параметров щелей и расстояний между ними добиваться желаемых соотношений между несущей способностью, жесткостью опоры и расходом газа через нее.

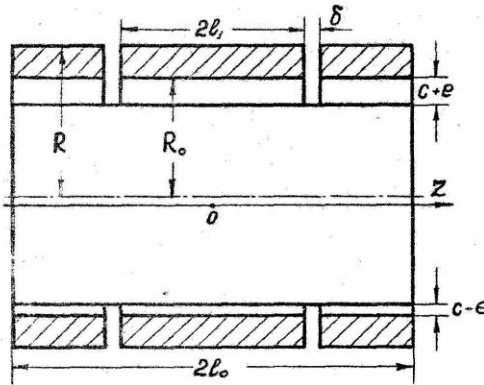


Рис. Схема подвеса

где:  $P_0$  - безразмерное давление надува, отнесенное к давлению  $P_0$ ;  $\mu$  - квадрат давления в газовом слое;  $U_1$ ;  $U_2$ ;  $U_3$  - значения функции  $U$  в щели надува, в центральном несущем слое и в слое с открытой границей соответственно;  $F^* = 4P_0 R_0^2 F$  - реакция несущего слоя;  $F$  - безразмерная реакция несущего слоя;  $K = cR/c\delta$  - безразмерная жесткость газового слоя;  $Q = \frac{\pi K R_0^3 c^3}{12 \mu} q$  - расход газа через подвес;  $q$  - безразмерный расход;  $\mu$  - отношение плотности газа к давлению при температуре слоя;  $\nu$  - коэффициент динамической вязкости.

Как показано в работе [1], у осесимметричных радиальных газостатических опор реакция газового слоя является практически линейной функцией относительного эксцентриситета вплоть до  $\epsilon = 0,4 - 0,5$ .

Ближайшая задача исследования состоит в том, чтобы с минимальной погрешностью найти реакцию слоя при сколь угодно малых  $\epsilon$ . Это позволит определить жесткость слоя при  $\epsilon = 0$  и записать все безразмерные характеристики опоры в этом диапазоне:

$$K = K/\epsilon = 0, F = \epsilon K, q = q/\epsilon = 0 \quad (1)$$

В соответствии с результатами работ [1-2] функция  $U$  в трех сопряженных областях подвеса при малых  $\epsilon$  достаточно точно описывается выражениями

$$U_0 = P_0^2 [P_0^2 - f(\varphi) \ln \frac{R}{r}], U_1 = P_0^2 (A_0 + A_1 \operatorname{ch} \lambda \xi \cos \varphi), U_2 = P_0^2 [C_{01} + C_{02} \xi + (C_{11} \xi^2 + C_{12} \xi^{2k}) \cos \varphi] \quad (2)$$

На границах областей эти функции отвечают условиям

$$U_0(R, \varphi) = U_1(\alpha, \varphi); U_1(\alpha, \varphi) = U_2(\alpha, \varphi); U_2(1, \varphi) = P_0^2$$

Отсюда

$$f(\varphi) = \frac{P_1^2 - P_0 - A_1 \operatorname{ch} \lambda \alpha \cos \varphi}{\varepsilon \pi R / R_0}, \quad C_{01} = 1 + \frac{P_0 - 1}{1 - \alpha}, \quad (3)$$

$$C_{11} = -\frac{1}{2} A_1 e^{-\lambda} \frac{\operatorname{ch} \lambda \alpha}{\operatorname{sh} \lambda (1 - \alpha)}, \quad C_{02} = -\frac{P_0 - 1}{1 - \alpha}, \quad C_{12} = \frac{1}{2} A_1 e^{\lambda} \frac{\operatorname{ch} \lambda \alpha}{\operatorname{sh} \lambda (1 - \alpha)}$$

Локальные массовые расходы газа через щель наддува  $\Delta Q_{20}$ , через решетчатый зазор  $\Delta Q_{\varphi 1}$  и зазор с открытой границей  $\Delta Q_{\varphi 2}$  запишутся

$$\begin{aligned} \Delta Q_{20} &= -\frac{\kappa \theta^3 P_0^2}{2 \gamma \mu \varepsilon \pi R / R_0} (P_1^2 - P_0 - A_1 \operatorname{ch} \lambda \alpha \cos \varphi) d\varphi; \\ \Delta Q_{\varphi 1} &= -\frac{\kappa \theta^3 P_0^2}{2 \gamma \mu} (1 - 3\varepsilon \cos \varphi) A_1 \operatorname{sh} \lambda \alpha \cos \varphi d\varphi; \\ \Delta Q_{\varphi 2} &= \frac{\kappa \theta^3 P_0^2}{2 \gamma \mu \lambda} (1 - 3\varepsilon \cos \varphi) \left[ \frac{P_0 - 1}{1 - \alpha} + A_1 \operatorname{ch} \lambda \alpha \frac{\operatorname{ch} \lambda (1 - \varepsilon)}{\operatorname{sh} \lambda (1 - \alpha)} \cos \varphi \right] d\varphi. \end{aligned} \quad (4)$$

Условие неразрывности потока на общей границе трех областей имеет вид

$$\Delta Q_{\varphi 2}(\alpha, \varphi) - \Delta Q_{\varphi 1}(\alpha, \varphi) = -\Delta Q_{20}(R_0, \varphi). \quad (5)$$

Совместное рассмотрение соотношений (3) - (5) позволяет определить постоянные, содержащиеся в выражениях (2):

$$\begin{aligned} P_0 &= 1 + \frac{P_1^2 - 1}{1 + \psi}, \quad C_{01} = 1 + \frac{P_1^2 - 1}{(1 - \alpha)(1 + \psi)}, \quad C_{02} = -\frac{P_1^2 - 1}{(1 - \alpha)(1 + \psi)}; \\ A_1 &= 3\varepsilon \frac{P_1^2 - 1}{1 + \psi} \frac{\psi \operatorname{sh} \lambda (1 - \alpha)}{\psi \lambda (1 - \alpha) \operatorname{ch} \lambda + \operatorname{ch} \lambda \alpha \operatorname{sh} \lambda (1 - \alpha)}; \\ C_{11} &= -\frac{3}{2} \varepsilon \frac{\psi (P_1^2 - 1)}{1 + \psi} \frac{e^{-\lambda} \operatorname{ch} \lambda \alpha}{\psi \lambda (1 - \alpha) \operatorname{ch} \lambda + \operatorname{ch} \lambda \alpha \operatorname{sh} \lambda (1 - \alpha)}; \\ C_{12} &= \frac{3}{2} \varepsilon \frac{\psi (P_1^2 - 1)}{1 + \psi} \frac{e^{\lambda} \operatorname{ch} \lambda \alpha}{\psi \lambda (1 - \alpha) \operatorname{ch} \lambda + \operatorname{ch} \lambda \alpha \operatorname{sh} \lambda (1 - \alpha)}. \end{aligned} \quad (6)$$

Безразмерная реакция газового слоя определяется равенством

$$F = \lambda \int_0^{\alpha} d\varphi \int_0^{\pi} \sqrt{u_1} \cos \varphi d\varphi + \lambda \int_0^{\alpha} d\varphi \int_0^{\pi} \sqrt{u_2} \cos \varphi d\varphi.$$

Отсюда с учетом соотношений (2), (3) и (6) нетрудно найти жесткость как производную  $F$  по  $\varepsilon$  при  $\varepsilon = 0$ :

$$K = \frac{3}{4} \pi A \left[ \frac{\operatorname{sh} \lambda \alpha \operatorname{sh} \lambda (1 - \alpha)}{\sqrt{\frac{P_1^2 - 1}{1 + \psi}}} + \lambda \operatorname{ch} \lambda \alpha \int_0^{\alpha} \frac{\operatorname{sh} \lambda (1 - \varepsilon) d\varepsilon}{\sqrt{\frac{P_1^2 - 1}{1 + \psi} (1 - \varepsilon)}} \right], \quad (7)$$

где

$$A = \frac{\psi (P_1^2 - 1)}{(1 + \psi) [\psi \lambda (1 - \alpha) \operatorname{ch} \lambda + \operatorname{ch} \lambda \alpha \operatorname{sh} \lambda (1 - \alpha)]}.$$

Безразмерный параметр потока  $q$  находится с учетом соотношений (1) и (2) в виде

$$q = \frac{2(P_1^2 - 1)}{\lambda (1 - \alpha)(1 + \psi)}. \quad (8)$$

Таким образом, выражения (1), (7) и (8) представляют собой расчетные формулы для основных безразмерных характеристик подвеса в диапазоне линейности  $F$  ( $\varepsilon \in 0,4 - 0,5$ ). Существенно, что эти формулы получены на основе уравнений Рейнольдса без каких-либо допущений о течении газа в зазоре. Анализ расчетов, проведенных графическим методом на ЭВМ, показал, что:

1. При фиксированном параметре  $\alpha$  всегда существует оптимальное значение параметра  $\psi$ , зависящее от  $\alpha$ , при котором жесткость  $K$  достигает максимума. Одна-

ко чем ближе  $\alpha$  к единице, тем выше соответствующее экстремальное значение жесткости. Поэтому жесткость  $K$  не имеет абсолютного максимума по двум параметрам  $\alpha$  и  $\psi$ .

2. При фиксированном  $\psi$  существует  $\alpha$ , при котором отношение жесткости к расходу достигает максимума. Однако чем больше  $\psi$ , тем выше это отношение. Таким образом, отношение  $K/q$  не имеет абсолютного максимума по двум параметрам  $\alpha$  и  $\psi$ .

Абсолютный максимум по параметрам  $\alpha$  и  $\psi$  имеет функция  $K\dot{\epsilon}/q$ , которая в диапазоне линейности  $F$  по смыслу соответствует отношению производения несущей способности и жесткости к расходу газа. Значения оптимальных параметров  $\alpha$  и  $\psi$ , при которых достигается этот максимум, даны в табл.

Т а б л и ц а

Оптимальные параметры  $\alpha$  и  $\psi$   
и соответствующие им значения  $K$  и  $q$

$P_H$	$\lambda$	$\alpha$	$\psi$	$K$	$q$
2	0,4	0,276	2,992	0,2554	5,188
2	0,6	0,281	2,879	0,5678	3,585
2	0,8	0,288	2,742	0,4649	2,814
2	1,0	0,296	2,593	0,5456	2,373
2	1,5	0,324	2,232	0,6815	1,830
2	2,0	0,360	1,947	0,7471	1,590
2	2,5	0,403	1,747	0,7731	1,464
3	0,4	0,234	4,027	0,4741	10,39
3	0,6	0,241	3,883	0,6809	7,199
3	0,8	0,251	3,708	0,8559	5,670
3	1,0	0,263	3,516	1,003	4,805
3	1,5	0,302	3,058	1,244	3,764
3	2,0	0,352	2,692	1,361	3,345
3	2,5	0,411	2,445	1,410	3,154
4	0,4	0,203	5,017	0,6647	15,66
4	0,6	0,212	4,845	0,9524	10,85
4	0,8	0,223	4,641	1,197	8,559
4	1,0	0,237	4,414	1,396	7,266
4	1,5	0,285	3,861	1,723	5,755
4	2,0	0,347	3,421	1,883	5,195
4	2,5	0,417	3,134	1,955	4,978

#### И Н Т Е Р А Т У Р А

1. Снопов А. И., Юдина Л. М. Радиальный газовый подвес с конической и спиральной кольцевой щелью. Сб. "Проблемы развития газовой смазки", ч.1. М., "Наука", 1972.

2. Константинов В. Н. Газовая смазка. М., "Машиностроение", 1972.